

МАТЕМАТИЧЕСКОЕ МОДЕЛИРОВАНИЕ ВЫБРОСА ГАЗОВЗВЕСИ ИЗ КАНАЛА УДАРНОЙ ТРУБЫ ПОД ДЕЙСТВИЕМ СЖАТОГО ГАЗА

А. Г. Кутушев, А. В. Татосов

Тюменский филиал Института теоретической и прикладной механики СО РАН, 625000 Тюмень

Приведены результаты численного счета процесса нестационарного двумерного осесимметричного волнового истечения инертной монодисперсной газозвеси из канала ударной трубы в окружающее газовое пространство под действием сжатого в камере высокого давления газа. Анализируется разгон дисперсных частиц внутри трубы и в затопленном пространстве за фронтом дифрагирующей воздушной ударной волны. Обсуждается эффект образования вихревого дисперсного кольца в процессе разлета облака частиц. Исследовано влияние основных определяющих параметров метаемого слоя газозвеси и толкающего газа на дальность разлета облака дисперсных частиц.

ВВЕДЕНИЕ

Дисперсные смеси газа с твердыми взвешенными частицами широко используются в качестве двухфазных рабочих тел в различных аппаратах и установках современной техники, связанной с производством, переработкой и транспортировкой инертных и горючих пылевых и сыпучих материалов, с детонационным нанесением покрытий, с импульсным струйным направленным метанием огнетушащих порошков в очаги горения. Возрастающие требования к интенсификации и безопасности технологических процессов и к оптимизации используемого оборудования вызывают необходимость детального изучения поведения дисперсных сред в условиях переменных динамических нагрузок. При этом особо важное значение приобретают вопросы нестационарного волнового истечения газозвесей во внешнюю среду из систем высокого давления в условиях их внезапной разгерметизации в аварийных ситуациях. Указанные вопросы актуальны и с точки зрения проектирования и разработки образцов новой техники, предназначенной для дальнего импульсного выброса газодисперсной среды из ствольных установок под действием сжатого газа или продуктов сгорания взрывчатых веществ (ВВ).

Процесс разлета слоя дисперсных частиц в волнах разрежения и сжатия изучается, как правило, экспериментально на ударных трубах и численно на основе методов и уравнений механики многофазных систем. Сравнительно немногочисленные строго аналитические иссле-

дования динамики газопылевых сред проводятся лишь в рамках упрощенной схематизации газозвеси с использованием модели «эффективного» газа. Следует отметить, что до настоящего времени отсутствуют какие-либо серьезные аналитические решения задачи о нестационарном истечении сверхзвуковой струи, формирующейся при дифракции ударной волны, выходящей из канала трубы в окружающее газовое пространство. Некоторые результаты численного решения указанной задачи приведены в [1, 2].

В работе [3] представлены результаты экспериментального исследования динамики разлета облака инертной газозвеси из камеры высокого давления (КВД) ударной трубы в газовое пространство камеры низкого давления (КНД). В [4] применительно к условиям опытов [3] выполнено математическое моделирование одномерного плоского движения неравновесной дисперсной смеси газа с твердыми монодисперсными частицами мучной пыли. В [5] на ударной трубе экспериментально изучен разлет горячей газозвеси. В [6] численно исследовано волновое истечение реагирующей смеси газа и горящих частиц унитарного (содержащего окислитель) топлива из КВД в газ КНД испытательной трубы. В [7] для условий опытов [8] проведено математическое моделирование разлета слоя сжатой насыпной среды из КВД в КНД ударной трубы. В работах [3–8], по существу, изучен лишь одномерный разгон дисперсной смеси в канале ударной трубы. Двумерное стационарное сверхзвуковое струй-

ное истечение инертной газозвеси из канала круглой трубы в окружающее газовое пространство теоретически (численно) и экспериментально исследовано в работе [9]. При этом в [9] не рассмотрено двухфазное течение внутри трубы.

В настоящей работе приведены результаты численного исследования двумерного осесимметричного нестационарного истечения газозвеси из канала ударной трубы в окружающее открытое пространство под действием сжатого газа КВД.

УРАВНЕНИЯ ДВИЖЕНИЯ ФАЗ ИНЕРТНОЙ ГАЗОВЗВЕСИ

Пусть имеется смесь газа с твердыми химически инертными взвешенными частицами. Для описания ее движения использованы следующие допущения [10]: расстояния, на которых параметры течения меняются значительно, много больше размеров частиц и расстояний между ними (вне поверхностей ударных скачков в несущей газовой фазе); частицы сферические, а смесь монодисперсная; эффекты вязкости и теплопроводности существенны лишь в процессах межфазного взаимодействия; дробление и столкновение частиц отсутствуют; фазовые превращения в смеси не происходят; несущая фаза — идеальный calorически совершенный газ, дисперсная фаза — несжимаемые частицы; объемное содержание дисперсных частиц в смеси много меньше единицы; вклад сил Бассэ и присоединенных масс в общую силу межфазного взаимодействия пренебрежимо мал; отсутствуют внешние массовые силы; изменение внутренней энергии смеси, обусловленное работой силы межфазного трения, целиком осуществляется через несущую фазу.

При сделанных предположениях система квазилинейных дифференциальных уравнений двумерного осесимметричного нестационарного движения инертной газозвеси имеет следующий вид [11]:

$$\begin{aligned} \frac{\partial \rho_i}{\partial t} + \frac{1}{r} \frac{\partial(r \rho_i v_{r,i})}{\partial r} + \frac{\partial(\rho_i v_{z,i})}{\partial z} = 0, \\ \frac{\partial(\rho_i v_{r,i})}{\partial t} + \frac{1}{r} \frac{\partial(r \rho_i v_{r,i}^2)}{\partial r} + \\ + \frac{\partial(\rho_i v_{r,i} v_{z,i})}{\partial z} + \alpha_i \frac{\partial p}{\partial r} = (-1)^i F_r, \end{aligned}$$

$$\begin{aligned} \frac{\partial(\rho_i v_{z,i})}{\partial t} + \frac{1}{r} \frac{\partial(r \rho_i v_{r,i} v_{z,i})}{\partial r} + \\ + \frac{\partial(\rho_i v_{z,i}^2)}{\partial z} + \alpha_i \frac{\partial p}{\partial z} = (-1)^i F_z, \quad (1) \end{aligned}$$

$$\begin{aligned} \frac{\partial(\rho_2 e_2)}{\partial t} + \frac{1}{r} \frac{\partial(r \rho_2 e_2 v_{r,2})}{\partial r} + \frac{\partial(\rho_2 e_2 v_{z,2})}{\partial z} = Q, \\ \sum_{i=1}^2 \left[\frac{\partial(\rho_i E_i)}{\partial t} + \frac{1}{r} \frac{\partial(r \rho_i v_{r,i} E_i)}{\partial r} + \right. \\ \left. + \frac{1}{r} \frac{\partial(r \alpha_i p v_{r,i})}{\partial r} + \frac{\partial(\rho_i v_{z,i} E_i)}{\partial z} + \frac{\partial(\alpha_i p v_{z,i})}{\partial z} \right] = 0, \\ \rho_i = \rho_i^0 \alpha_i, \quad E_i = e_i + 0,5(v_{r,i}^2 + v_{z,i}^2), \\ \alpha_1 + \alpha_2 = 1, \quad i = 1; 2, \end{aligned}$$

где ρ_i, ρ_i^0 — средняя и истинная плотности соответственно; $v_{r,i}, v_{z,i}$ — составляющие скорости в радиальном (r) и осевом (z) направлениях; α_i — объемное содержание; e_i, E_i — удельные внутренняя и полная энергии i -й фазы; p — давление газа; F_r, F_z — составляющие силового взаимодействия фаз в цилиндрических координатах; Q — интенсивность контактного теплообмена газа с частицами.

В системе уравнений (1) представлены уравнения сохранения масс газовой ($i = 1$) и дисперсной ($i = 2$) фаз, уравнения сохранения импульсов газа и частиц, уравнение притока тепла к дисперсным включениям взвеси и уравнение сохранения полной энергии смеси в единице объема.

Используются уравнения состояния идеального calorически совершенного газа и несжимаемых твердых частиц [10]:

$$\begin{aligned} p = \rho_1^0 R T_1, \quad e_1 = c_1 T_1, \quad \rho_2^0 = \text{const}, \\ e_2 = c_2 T_2 \quad (R, c_1, c_2 = \text{const}). \quad (2) \end{aligned}$$

Здесь R — газовая постоянная, c_1 — удельная теплоемкость газа при постоянном объеме, c_2 — удельная теплоемкость частиц, T_i — температура i -й фазы.

Система уравнений (1), (2) замыкается путем задания законов межфазного силового и теплового взаимодействия газовой и дисперсной фаз [10]:

$$\begin{aligned} F_r = \frac{1}{2} C_d \rho_1^0 \Delta v (v_{r,1} - v_{r,2}) S_m n \\ \left(S_m = \frac{\pi d^2}{4}, \quad n = \frac{6 \alpha_2}{\pi d^3} \right), \\ F_z = \frac{1}{2} C_d \rho_1^0 \Delta v (v_{z,1} - v_{z,2}) S_m n \quad (3) \end{aligned}$$

$$\left(\Delta v = \sqrt{(v_{r,1} - v_{r,2})^2 + (v_{z,1} - v_{z,2})^2} \right),$$

$$Q = \pi d \lambda_1 \text{Nu} (T_1 - T_2) n \quad (\lambda_1 = \text{const}),$$

где C_d — коэффициент сопротивления сферических частиц диаметром d ; S_m — площадь миделева сечения частиц; n — число дисперсных частиц в единице объема смеси; Δv — модуль вектора относительной скорости газовой и дисперсной фаз; λ_1 — коэффициент теплопроводности газа; Nu — число Нуссельта газовой фазы, характеризующее теплообмен между газом и взвешенными частицами.

Выражения для C_d и Nu задаются в виде зависимостей, учитывающих сжимаемость и стесненность потока [10]:

$$C_d = C_d^0 [1 + \exp(-0,427M^{-4,63})] \alpha_1^{-k} \quad (k = \text{const}),$$

$$C_d^0 = \frac{24}{\text{Re}} + \frac{4}{\sqrt{\text{Re}}} + 0,4 \quad (0 \leq \text{Re} \leq 2 \cdot 10^5),$$

$$\text{Re} = \frac{\rho_1^0 \Delta v d}{\mu_1}, \quad M = \frac{\Delta v}{a_1}, \quad \alpha_1^2 = \gamma \frac{p}{\rho_1^0} \quad (4)$$

$$(\mu_1 = \text{const}),$$

$$\text{Nu} = 2 \exp(-M) + 0,459 \text{Re}^{0,55} \text{Pr}^{0,33}, \quad \text{Pr} = \frac{\gamma c_1 \mu_1}{\lambda_1}$$

Здесь C_d^0 — коэффициент аэродинамического сопротивления одиночной сферической твердой частицы для условий обтекания ее безграничным стационарным потоком несжимаемой жидкости; M , Pr , Re — числа Маха относительного движения фаз, Прандтля и Рейнольдса соответственно; a_1 и μ_1 — соответственно адиабатическая скорость звука и динамическая вязкость газовой фазы; γ — показатель адиабаты газа; k — коэффициент, учитывающий стесненность потока.

ПОСТАНОВКА ЗАДАЧИ

Имеется горизонтальная ударная труба круглого сечения с внутренним диаметром D и длиной L . Левый конец трубы ($z = 0$) закрыт, а правый ($z = L$) — открыт. Внутри трубы на расстоянии $z = z_*$ от торцевой поверхности ($z = 0$) расположена диафрагма, отделяющая камеры высокого ($0 \leq z \leq z_*$) и низкого ($z_* < z \leq L$) давлений. В КВД находится сжатый газ, а в КНД — слой однородной газозвеси ($z_* \leq z \leq z_{**}$) и следующий за ним слой атмосферного газа ($z_{**} < z \leq L$). В момент времени $t = 0$ под действием перепада начальных давлений в КВД и КНД ($\Delta p_0^* = p_* - p_0$, где p_* — начальное давление газа в КВД, p_0 —

начальное (атмосферное) давление газа) диафрагма мгновенно раскрывается и в канале ствола трубы начинается волновое движение газа и газозвеси. Ставится цель — описать возникающий при этом движении процесс выброса слоя газозвеси из трубы в окружающее газовое пространство.

Схематическое представление сформулированной задачи приведено на рис. 1, а, б, где показаны области сжатого газа в КВД (G_1), слоя невозмущенной газозвеси (G_2) и атмосферного газа (G_3) в КНД:

$$G_1 = \{0 \leq r \leq D/2, 0 \leq z \leq z_*\},$$

$$G_2 = \{0 \leq r \leq D/2, z_* \leq z \leq z_{**}\},$$

$$G_3 = \{0 \leq r \leq D/2, z_{**} \leq z \leq L\},$$

а также области внешнего газового пространства (G_4) и всей расчетной зоны $G = G_1 + G_2 + G_3 + G_4$, ограниченной границей $\Gamma = \Gamma_W + \Gamma_N + \Gamma_O + \Gamma_S$, где $\Gamma_W, \Gamma_N, \Gamma_O, \Gamma_S$ — левая, верхняя, правая и нижняя границы расчетной области соответственно.

Начальные условия для системы уравнений (1)–(4) при $t = 0$ имеют вид [11]:

$$p = \begin{cases} p_*, & (r, z) \in G_1, \\ p_0, & (r, z) \in G_2 \div G_4; \end{cases}$$

$$T_1 = \begin{cases} T_*, & (r, z) \in G_1, \\ T_0, & (r, z) \in G_2 \div G_4; \end{cases}$$

$$v_{r,1} = v_{z,1} = 0, (r, z) \in G_1;$$

$$\alpha_1 = \begin{cases} 1, & (r, z) \in G_1, G_3, G_4, \\ 1 - \alpha_{2,0}, & (r, z) \in G_2; \end{cases} \quad (5)$$

$$v_{r,2} = v_{z,2} = 0, (r, z) \in G_1 \div G_4;$$

$$\alpha_2 = \begin{cases} \alpha_{2,0}, & (r, z) \in G_2, \\ 0, & (r, z) \in G_1, G_3, G_4; \end{cases}$$

$$T_2 = \begin{cases} T_*, & (r, z) \in G_2, \\ 0, & (r, z) \in G_1, G_3, G_4, \end{cases}$$

где T_* и T_0 — начальные температуры газа в КВД и невозмущенного атмосферного газа.

Граничные условия задаются следующим образом [11, 12]: на оси симметрии ($r = 0$) полагаются справедливыми условия

$$\frac{\partial v_{z,i}}{\partial r} = v_{r,i} = 0 \quad (i = 1, 2); \quad (6)$$

на боковой стенке трубы ($r = D/2, 0 \leq z \leq L$) принимается условие непротекания газа ($i = 1$) и дисперсных частиц ($i = 2$):

$$v_{r,i} = 0; \quad (7)$$

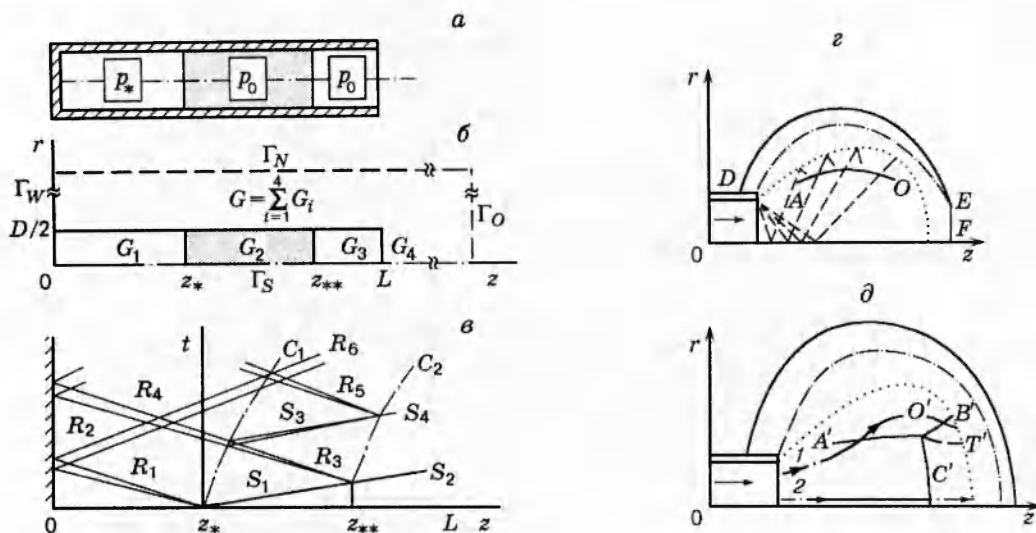


Рис. 1. Схема трубы с метаемою аэродисперсной средой (а), расчетная область (б), $x-t$ -волновая диаграмма в трубе (в) и в пространстве за трубой (д):

S_i ($i = 1 \div 4$) — ударные волны и волны сжатия; R_i ($i = 1 \div 6$) — волны разрежения; C_i ($i = 1 \div 2$) — контактные границы метаемою среды; δ — линии тока газа через висячий скачок уплотнения $A'O'$ и диск Маха $O'C'$

на торце ударной трубы ($z = 0, 0 \leq r \leq D/2$) — аналогичное (7) условие, но для осевой составляющей скорости несущей фазы ставится условие непротекания газа

$$v_{r,i} = 0. \quad (8)$$

На внешней границе расчетной области Γ_W выше торца трубы ($z = 0, r > D/2$), а также на границах Γ_N и Γ_O задаются условия свободного протекания фаз [13]. На границе Γ_S правее открытого конца трубы ($r = 0, z > L$) принимаются условия (6).

Уравнения движения инертной газозвеси (1)–(4) интегрировали с использованием следующих безразмерных переменных и параметров подобия:

$$R = \frac{r}{L}, \quad Z = \frac{z}{L}, \quad \tau = \frac{t}{t_g}, \quad \Xi_i = \frac{\rho_i}{\rho_{1,0}^0},$$

$$\Xi_i^0 = \frac{\rho_i^0}{\rho_{1,0}^0}, \quad V_{R,i} = \frac{v_{r,i}}{a_{1,0}}, \quad V_{Z,i} = \frac{v_{z,i}}{a_{1,0}}, \quad \Theta_i = \frac{T_i}{T_0},$$

$$U_i = \frac{e_i}{a_{1,0}^2}, \quad W_i = \frac{E_i}{a_{1,0}^2}, \quad P = \frac{p}{p_0} \quad (i = 1, 2),$$

$$\gamma = \frac{(c_1 + R_1)}{c_1}, \quad Re_d = \frac{\rho_{1,0}^0 a_{1,0} c_1}{\mu_1}, \quad \Lambda_v = \frac{t_v}{t_g},$$

$$\delta = \frac{c_2}{c_1}, \quad Pr, \quad k, \quad \eta = \frac{\rho_2^0}{\rho_{1,0}^0}, \quad m = \eta \frac{(1 - \alpha_{1,0})}{\alpha_{1,0}},$$

$$P_* = \frac{r_*}{p_0}, \quad \Theta_* = \frac{T_*}{T_0}, \quad \Omega = \frac{D}{L},$$

$$Z_* = \frac{z_*}{L}, \quad Z_{**} = \frac{z_{**}}{L} \quad \left(t_g = \frac{L}{a_{1,0}}, \quad t_v = \frac{\rho_2^0 d^2}{18\mu_1} \right).$$

Здесь t_g и t_v — характерное газодинамическое время задачи и характерное время выравнивания скоростей газовой и дисперсной фаз; Re_d — характерное значение числа Рейнольдса относительного движения газа и частиц; Λ_v — отношение характерного времени пробега звуковой волны в газе от закрытого торца трубы до ее открытого конца к времени релаксации скоростей частиц; δ — отношение удельных теплоемкостей фаз; η — отношение истинных плотностей материала частиц и газа; m — начальное относительное массовое содержание взвеси; Ω — отношение диаметра трубы к ее длине; Z_* и Z_{**} — безразмерные координаты левой и правой границ облака частиц в начальный момент времени.

Численное решение задач выполнено методом «крупных частиц» [13]. Вычислительная программа написана на алгоритмическом языке «Фортран-77» и тестирована посредством решения задачи о двумерном плоском стационарном обтекании пластины потоком газозвеси [14] и задачи о струйном стационарном истечении сверхзвукового потока запыленного газа из трубы [9]. Расчеты проведены на

равномерной расчетной сетке с числом ячеек вдоль координат R и Z , равным $(50 \times 100)^2$ ($i = 1, 2$). Контроль точности вычислений осуществлялся сравнением решений на различных пространственно-временных сетках. Характерное время счета одного варианта движения дисперсной смеси на ЭВМ IBM PC-486 составлял ~ 2 ч.

Расчеты выполняли для смесей воздуха и частиц кварцевого песка. При этом использованы следующие значения термодинамических параметров фаз: $T_0 = 300$ К, $p_0 = 0,1$ МПа, $\rho_{1,0}^0 = 1,29$ кг/м³, $\gamma = 1,4$, $c_1 = 716$ м²/(с² · К), $a_{1,0} = 341$ м/с, $\mu_1 = 1,71 \cdot 10^{-5}$ кг/(м · с), $\lambda_1 = 0,026$ кг · м/(с³ · К), $\rho_2^0 = 2500$ кг/м³, $c_2 = 710$ м²/(с² · К).

Полагали $L = 1$ м и $D = 0,2$ м; $z_* = 0,4$ м, $z_{**} - z_* = 0,4$ м (длина слоя газозвеси); $p_* = 200p_0$ и $T_* = 20T_0$; $d = 60$ мкм, а исходное объемное содержание взвеси ($\alpha_{2,0} = 1 - \alpha_{1,0}$) в основной серии расчетов составляло $5 \cdot 10^{-4}$. Указанным значениям размерных параметров соответствуют следующие значения параметров и критериев подобия: $Re_d = 1540$; $\Lambda_v = 10$; $\delta = 1$; $Pr = 0,66$; $\eta = 1938$; $m = 1$; $k = 3$; $\Omega = 0,2$; $Z_* = 0,4$; $Z_{**} = 0,8$. При этом $t_g = 2,93$ мс и $t_v = 29,23$ мс.

НЕКОТОРЫЕ РЕЗУЛЬТАТЫ РАСЧЕТОВ

Разлет слоя газозвеси из КНД ударной трубы в окружающее пространство под действием сжатого газа КВД представляет собой сложный нестационарный волновой процесс. Для его качественного описания удобно обратиться к $x - t$ -диаграмме, соответствующей схематизации газозвеси в виде «эффективного» газа (рис. 1, в).

Согласно рис. 1, в начальный этап разлета частиц в КНД ударной трубы осуществляется следующим образом. В момент времени $t = 0$ на границе «сжатый газ — газозвесь» осуществляется распад начального разрыва, в результате которого вглубь дисперсной среды распространяется ударная волна S_1 , а в область газа КВД — центрированная волна разрежения R_1 . С течением времени ударная волна S_1 взаимодействует с правой контактной границей слоя дисперсных частиц C_2 , при этом в двухфазную среду начинает распространяться волна разгрузки R_3 , а в атмосферный газ КНД — проходящая ударная волна S_2 . За волнами R_1, S_1, R_3 и S_2 газовая и дисперсная фазы ускоряются.

В последующие моменты движения волна R_1 отражается от левого (закрытого) конца трубы в виде волны разрежения R_2 , а волна разгрузки R_3 взаимодействует с левой границей слоя дисперсных частиц C_1 . Результатом взаимодействия волны R_3 с контактной поверхностью C_1 являются огражденные волны сжатия S_3 в газозвеси и волна разрежения R_4 , проходящая в газ КВД. Волна сжатия S_3 , двигаясь по слою дисперсных частиц слева направо, взаимодействует с контактной поверхностью C_2 , образуя проходящую вторичную ударную волну в газе КНД S_4 и огражденную в газозвесь волну разрежения R_5 . В волнах S_3 и R_5 имеет место дополнительный разгон газа и дисперсных частиц. В волнах R_2 и R_4 уменьшается давление толкающего газа КВД. Взаимодействие волны R_2 с левой контактной границей C_1 приводит к формированию в двухфазной среде проходящей волны разрежения R_6 , тормозящей газ и частицы. Сложный характер волнового движения газозвеси в КНД ударной трубы, обусловленный взаимодействием волн сжатия и разрежения с закрытым концом трубы и с контактными границами, продолжается и в последующие моменты времени.

Описанную выше качественную картину начальной стадии волнового разгона частиц газозвеси в КНД ударной трубы иллюстрирует рис. 2. Из рисунка видно, что в процессе динамического нагружения слоя газозвеси сжатым газом КВД формируется нестационарная ударная волна с передним затухающим скачком и протяженной зоной релаксации параметров фаз, где частицы дисперсной фазы интенсивно вовлекаются в движение сверхзвуковым газовым потоком. В интервале времени $\tau_3 \div \tau_4$ ударная волна S_1 достигает правой контактной границы C_2 . В результате взаимодействия волны S_1 с контактной поверхностью C_2 и образования волны S_2 в невозмущенном газе КНД, а также волны разгрузки в двухфазной среде все частицы взвеси приходят в движение, при этом газ в волне R_3 приобретает дополнительную скорость. Стадия одномерного совместного движения газовой и дисперсной фаз завершается в момент прихода волны S_2 к открытому концу трубы ($Z = 1$).

С момента выхода волны S_2 в открытое пространство начинается этап нестационарного двумерного осесимметричного истечения сверхзвуковой газовой струи и продолжающегося одномерного движения газа и дисперсных

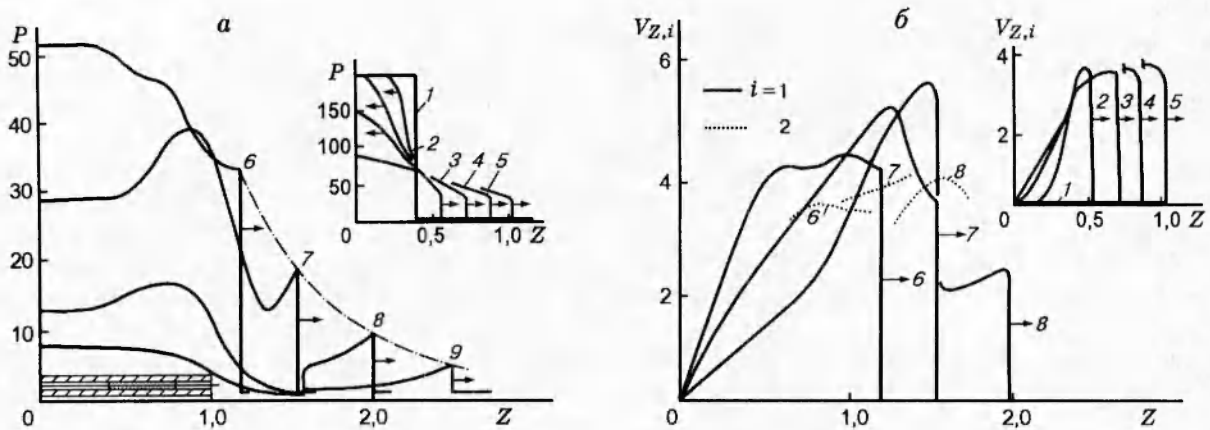


Рис. 2. Расчетные распределения давления газа (а) и скоростей фаз (б) в пространстве в моменты времени τ_j ($j = 1 \div 9$ (а) и $j = 1 \div 8$ (б)):

$\tau_j = 0$ (кривая 1), 0,03 (2), 0,06 (3), 0,095 (4), 0,126 (5), 0,161 (6), 0,225 (7), 0,385 (8), 0,641 (9); начальное массовое содержание частиц $m = 1$; диаметр частиц $d = 60$ мкм; отношение начальных давлений в КВД и КНД — $p_* / p_0 = 200$; стрелки — направления распространения ударной волны S_1 и волн разрежения R_1 и R_2

частиц в канале КНД. Возникновение струйного потока газа связано с дифракцией S_2 на открытом конце трубы.

Схема течения газа в пространстве за трубой за дифрагирующей ударной волной представлена на рис. 1, г. Сплошной линией показаны дифрагированная (DE) и невозмущенная (EF) части ударной волны (DEF); штрихпунктирной — контактный разрыв, разделяющий части газа, пришедшие в движение до и после начала дифракции ударной волны; пунктирной — граница струи; штриховыми линиями показаны характеристики волны разрежения, исходящей от кромки канала КНД, а также их отражение от оси симметрии ($r = 0$) и вторичное отражение от границы струи в виде волн сжатия. Линией AO изображена огибающая волн сжатия, которые идут от поверхности струи в виде пучка сходящихся характеристик и формируют висячий криволинейный скачок уплотнения [15].

Этапу истечения газового потока из ударной трубы, схематически изображенному на рис. 1, г, на рис. 2 соответствуют расчетные профили давления (а) и скорости (б) в момент времени τ_5 .

Дальнейший этап процесса соответствует вылету из канала трубы слоя дисперсных частиц в область нестационарного двумерного осесимметричного сверхзвукового струйного потока газа, где со временем складывается картина течения с образованием устойчи-

вой тройной маховской конфигурации ударных волн, возникающей в результате взаимодействия скачка уплотнения AO с осью симметрии $r = 0$ (рис. 1, д). На рисунке линиями $A'O'$, $O'B'$, $O'C'$ нанесены соответственно висячий и отраженный скачки, диск Маха. Линией $O'T'$ показана отходящая от точки разветвления O' поверхность тангенциального разрыва [16, 17].

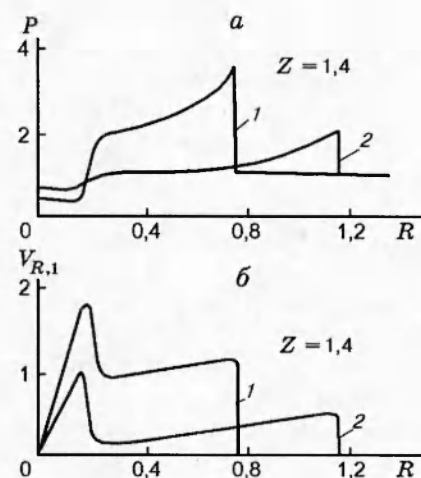


Рис. 3. Расчетные профили давления (а) и радиальной скорости (б) газовой фазы в моменты движения облака частиц $\tau = \tau_8 = 0,385$ (1) и $\tau = \tau_9 = 0,641$ (2):

остальные параметры такие же, как на рис. 2

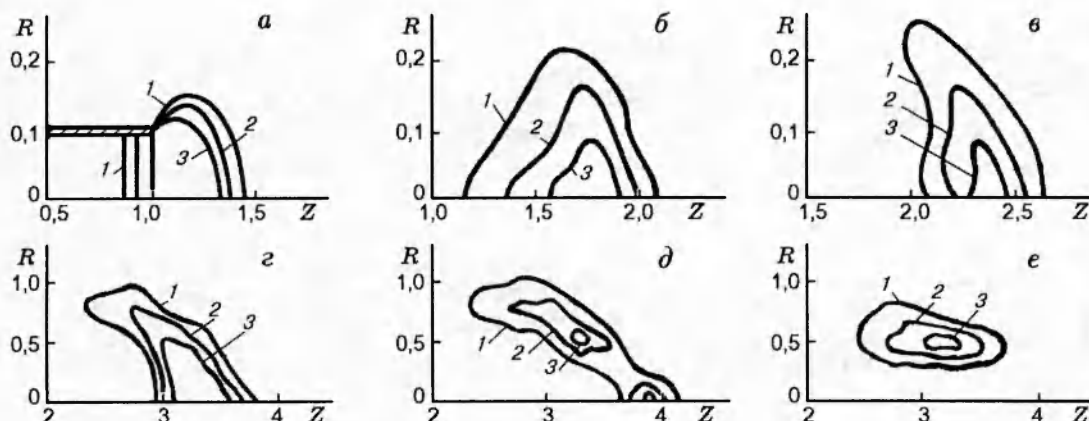


Рис. 4. Изолинии плотности дисперсной фазы слоя газовой смеси в моменты времени $\tau = 0,225$ (а), $0,385$ (б), $0,641$ (в), $2,558$ (г), $3,853$ (д), $6,445$ (е):

а-в: $\Sigma_2 = 0,02; 0,1; 0,2$ (кривые 1-3 соответственно); г-е: $\Sigma_2 = 0,005; 0,01; 0,015$ (кривые 1-3 соответственно); остальные параметры такие же, как на рис. 2

Согласно рис. 1, д, а также рис. 3 вдоль линии тока 1 газ ускоряется в вереве волн разрежения, приобретая сверхзвуковую радиальную скорость ($V_{R,1} > a_1$). После прохождения газовым потоком поверхности ударного фронта всякого скачка скорость $V_{R,1}$ становится дозвуковой ($V_{R,1} < a_1$). В дальнейшем (вниз по потоку) линия тока 1 выходит в зоне сжатия к отраженной ударной волне $O'B'$, за которой осевая скорость $V_{Z,1}$ скачком гасится до значения, меньшего скорости звука ($V_{Z,1} < a_1$). Вдоль центральной линии тока 2 сверхзвуковой поток ($V_{Z,1} > a_1$), расширяясь в волне Прандтля — Майера, ускоряется в направлении оси Z , после чего его скорость скачком гасится в диске Маха ($V_{Z,1} < a_1$).

Движение частиц, вылетевших в открытое газовое пространство, в волне разрежения происходит в условиях плавного изменения их скорости по величине и направлению. Увлекаемые расширяющимся неоднородным потоком газа, дисперсные частицы приобретают меньшую, чем у газовой фазы, радиальную скорость. Таким образом, облако частиц расширяется в радиальном направлении и формируется «тело» двухфазной струи внутри газовой струи. При этом в двухфазной части потока осевая скорость дисперсных частиц $V_{Z,2}$ меньше скорости газа $V_{Z,1}$, что видно из расчетных кривых 6 и 7 на рис. 2, соответствующих моментам времени τ_6 и τ_7 .

Следует отметить, что в моменты времени τ_6 и τ_7 на профилях давления газа вдоль оси Z за фронтом лидирующей ударной волны на-

блюдается зона падения давления, обусловленная приходом центрированной волны разрежения на ось симметрии. Кроме того, на кривой 7 рис. 2, а отчетливо видна область пониженного давления газа у закрытого конца трубы за отраженной волной разрежения R_2 (см. рис. 1, в), в которой газовый поток тормозится. Последнее хорошо видно из сравнения профилей скоростей газа, изображенных на рис. 2, б, в моменты времени τ_6 и τ_7 .

Описанный ранее процесс формирования диска Маха в струйном газовом потоке завершается к моменту времени τ_8 (см. рис. 2, а). К этому времени частицы дисперсной фазы начинают пересекать поверхность диска Маха и в силу своей инерции ($\eta \gg 1$) их скорость практически не меняется. Следует подчеркнуть, что скорость несущей газовой фазы за диском Маха падает скачком, в результате чего в этой зоне частицы взвеси опережают газ. Таким образом, складывается ситуация, при которой действие несущей фазы на облако дисперсных частиц носит двойственный характер: перед диском Маха газ ускоряет задние слои облака, а за ним — замедляет передние слои взвеси, что приводит к сжатию облака дисперсных частиц вдоль оси Z .

К моменту времени τ_9 все частицы газовой взвеси пересекают диск Маха и затем стремятся догнать фронт затухающей лидирующей ударной волны. Задние слои облака, двигаясь быстрее передних, вызывают его уплотнение. В то же время облако дисперсных частиц, имея значительную кинетическую энергию, генери-

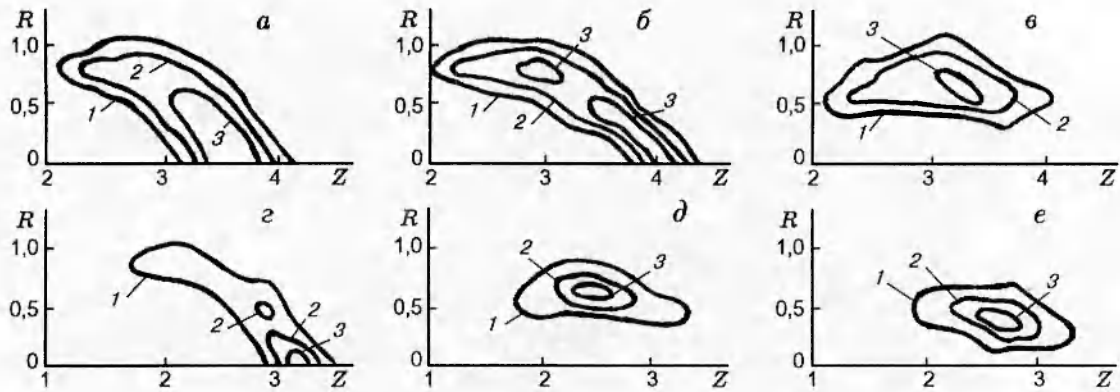


Рис. 5. Изолинии приведенной плотности дисперсной фазы в облаках частиц с $m = 10$, $d = 60$ мкм (а-в) и $m = 1$, $d = 30$ мкм (г-е) (остальные параметры такие же, как на рис. 4): а-в: $\Sigma_2 = 0,02; 0,04; 0,08$ (кривые 1-3 соответственно) г-е: $\Sigma_2 = 0,005; 0,01; 0,015$ (кривые 1-3 соответственно); моменты времени $\tau_{a \div в} = \tau_{г \div е} = 2,558; 3,853; 6,445$

рует впереди себя волны сжатия в газе, которые поддерживают ударную волну, не давая последней отстать от облака газозвеси. Указанные процессы приводят к совместному согласованному движению дисперсных частиц и ударной волны. При этом изолинии плотности дисперсной фазы почти повторяют изобары поля давления, а максимум плотности близок к фронту ударной волны. Само облако принимает выпуклую (дугою вперед) форму ударной волны.

На рис. 4 изображены соответствующие рис. 2 линии равных плотностей дисперсной фазы в различные моменты времени. Рис. 4,а характеризует момент выхода газодисперсного потока из канала ударной трубы (соответствующие профили давления газа и скоростей фаз приведены на рис. 2 кривыми б); рис. 4,б иллюстрирует процесс разлета в момент прохождения облака частиц диска Маха (соответствует кривым 8 на рис. 2), рис. 4,в — форму облака в процессе совместного движения дисперсных частиц и ударной волны (соответствующий профиль давления газа показан на рис. 2,а кривыми 9).

К моменту времени $\tau = 2,558$ внешние радиально удаленные части облака удаляются за пределы газовой струи, где тормозятся в зоне вихревого движения газа над линией срыва [1, 18], втягиваясь во вращательное движение против часовой стрелки в соответствии с рис. 4,г. В последующие моменты движения ($\tau \sim 3,853$) центральная часть облака дисперсных частиц за вырождающейся в звук ударной волной уходит вперед вдоль оси Z (см.

рис. 4,д). Ушедшая вперед центральная часть облака дисперсных частиц, расширяясь в радиальном и продольном направлениях, расплывается в газовом пространстве. Таким образом, к моменту времени $\tau = 6,445$ образуется вращающийся тор, движущийся с весьма малой скоростью вдоль оси симметрии (см. рис. 4,е).

АНАЛИЗ РЕЗУЛЬТАТОВ РАСЧЕТОВ

Значительный интерес представляет исследование влияния определяющих параметров дисперсного слоя (относительного массового содержания взвеси m и диаметра частиц d), а также отношения начальных давлений газов в КВД и КНД ударной трубы (p_*/p_0) на эволюцию и дальность разлета облака частиц.

В качестве примера такого исследования на рис. 5 представлены расчетные линии равных плотностей дисперсной фазы в облаках частиц с $m = 10$, $d = 60$ мкм (а-в) и $m = 1$, $d = 30$ мкм (г-е) и с остальными параметрами такими же, как на рис. 4. Из сравнения решений, показанных на рис. 5,а-в и рис. 4,г-е, следует, что до момента движения $\tau = 6,445$ форма и положение облака слабо зависят от начального относительного массового содержания частиц. Повышение концентрации дисперсной фазы в метаемом слое заметно влияет лишь на увеличение размеров облака частиц. Из сопоставления решений, представленных на рис. 4,г-е и 5,г-е, видно, что изменение диаметра частиц от 60 до 30 мкм незначительно уменьшает дальность выброса слоя газозвеси и формирует вихревое кольцо на заметно более ранней стадии движения.

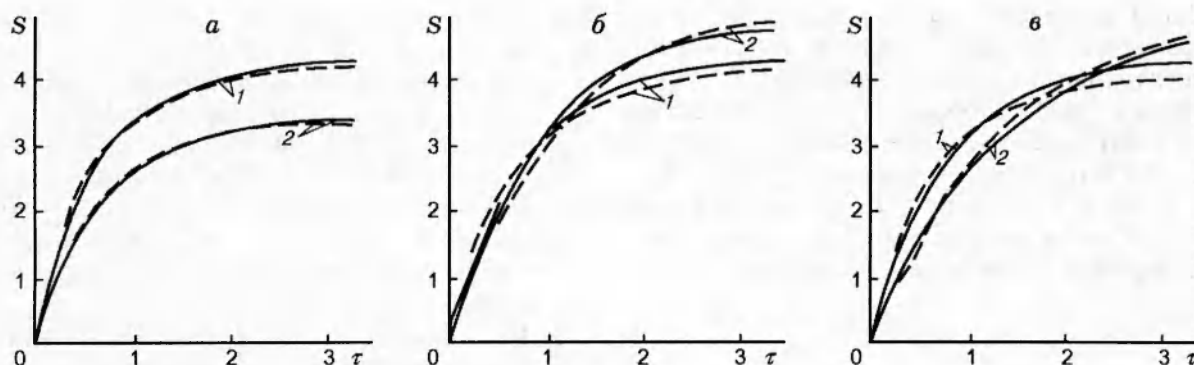


Рис. 6. Траектории движения вдоль оси Z центра масс метаемого слоя аэродисперсной среды в зависимости от отношения начальных давлений газа в КВД и КНД (a), исходного относительного массового содержания взвеси ($б$) и диаметра частиц ($в$):

штриховые линии — данные численного эксперимента, сплошные — соответствующие аппроксимирующие зависимости: a — $p_*/p_0 = 250$ (1), 50 (2), $m = 1$, $d = 60$ мкм, $б$ — $m = 1$ (1), 10 (2), $p_*/p_0 = 200$, $d = 60$ мкм; $в$ — $d = 60$ (1) и 200 мкм (2), $p_*/p_0 = 200$, $m = 1$

На рис. 6 изображены положения центра масс облака метаемой газозвеси во времени в зависимости от начального давления толкающего газа, исходной концентрации дисперсной фазы и размера частиц. Соответствующие аппроксимирующие зависимости получены на основе интегрирования закона движения одиночной твердой сферической частицы:

$$\frac{d^2S}{dt^2} = -B \frac{dS}{dt} \quad \left(S = \frac{s}{L}, \quad B = \text{const} \right) \quad (9)$$

с начальными условиями

$$t = 0: S = 0; \quad t = \infty: S = A \equiv \text{const}. \quad (10)$$

Здесь s и S — размерное и безразмерное расстояния, проходимые частицей за время t от момента начала движения в направлении оси Z , A — предельное расстояние, на которое выстреливается частица; B — величина, обратная характерному времени выравнивания скоростей газа и частицы. Решение уравнения (9) с начальными условиями (10) имеет вид

$$S = A(1 - \exp(-Bt)). \quad (11)$$

Постоянные A и B найдены путем обработки результатов численного решения задачи в рамках уравнений (1)-(4) с начальными (5) и граничными (6)-(8) условиями:

$$A = [(0,012m + 0,397) \ln P_* \ln D_*]^{2/3},$$

$$B = \frac{3,535 - 0,076m}{\sqrt{D_*}}$$

$$\left(P_* = \frac{p_*}{p_0}, \quad D_* = \frac{d}{d_*}, \quad d_* = 1 \text{ мкм} \right).$$

Представленные расчетные «эмпирические» зависимости обобщают данные численного эксперимента с погрешностью $\approx 6\%$ в диапазонах изменения определяющих параметров $1 \leq m \leq 10$, $50 \leq D_* \leq 200$ и $50 \leq P_* \leq 250$.

Из рис. 6 следует, что зависимости движения центра масс облака от диаметра частиц и их начального массового содержания в указанных выше пределах имеют слабо выраженный характер. При увеличении этих параметров начальная скорость облака частиц уменьшается, а дальность выброса возрастает. При повышении начального давления в КВД дальность разлета слоя дисперсных частиц увеличивается.

ВЫВОДЫ

Процесс нестационарного выброса в атмосферу слоя газозвеси из трубы под действием конечного объема сжатого газа состоит из последовательных стадий одномерного движения дисперсной смеси в канале трубы, двумерного осесимметричного разлета облака частиц во внешнем газовом пространстве и последующего формирования движущегося вихревого дисперсного кольца.

Разгон взвешенных частиц в трубе и газовом пространстве за трубой носит существенно волновой характер и определяется волнами сжатия и разрежения, возникающими в результате распада начального разрыва, дифракции ударной волны на срезе канала, а также пересечения разрывов.

Начальная скорость центра масс метаемого слоя газозвеси уменьшается, а дальность

выброса дисперсной среды увеличивается при возрастании размера частиц и их исходного относительного массового содержания в смеси. Дальность разлета облака частиц повышается с ростом отношения начальных давлений газов в КВД и КНД ударной трубы.

Работа выполнена при финансовой поддержке Совета по грантам по поддержке ведущих научных школ (грант N 96-15-96001).

ЛИТЕРАТУРА

1. **Васильев Е. Н.** Нестационарное истечение струи в затопленное пространство // Изв. АН СССР. МЖГ. 1984. № 1. С. 42–46.
2. **Кисляков В. Б.** Особенности ударного запуска сверхзвуковых струй, истекающих из плоских каналов постоянного сечения при малых значениях нерасчетности // Письма в ЖТФ. 1983. Т. 9, вып. 3. С. 166–170.
3. **Гельфанд Б. Е., Губанов А. В., Медведев С. П. и др.** Ударные волны при разлете сжатого объема газозвеси твердых частиц // Докл. АН СССР. 1985. Т. 281, № 5. С. 1113–1116.
4. **Казаков Ю. В., Федоров А. В., Фомин В. М.** Разлет облака сжатого объема газозвеси // ПМТФ. 1987. № 5. С. 139–144.
5. **Гельфанд Б. Е., Медведев С. П., Поленов А. Н., Бартенев А. М.** Ударные волны при разлете объема горячей газозвеси // Физика горения и взрыва. 1990. Т. 26, № 3. С. 85–91.
6. **Кутушев А. Г., Пичугин О. Н.** Математическое моделирование разлета сжатой горячей газозвеси унитарного топлива в ударной трубе // Физика горения и взрыва. 1996. Т. 32, № 1. С. 87–93.
7. **Кутушев А. Г., Рудаков Д. А.** Численное исследование параметров воздушных УВ при разлете расширяющегося слоя порошкообразной среды // Физика горения и взрыва. 1992. Т. 28, № 6. С. 105–112.
8. **Медведев С. П., Поленов А. Н., Гельфанд Б. Е., Цыганов С. А.** Воздушные УВ при внезапном расширении сжатой двухфазной среды насыпной плотности // Физика горения и взрыва. 1987. Т. 23, № 3. С. 135–139.
9. **Sommerfeld M. M.** Numerical simulation of supersonic two-phase gasparticle flows // Shock Tubes and Waves. Proc. 16th Intern. Symp. on Shock Tubes and Waves / H. Gronig (Ed.). Aachen, FRG. P. 235–241.
10. **Ивандаев А. И., Кутушев А. Г., Нигматулин Р. И.** Газовая динамика многофазных сред. Ударные и детонационные волны в газозвесах // Итоги науки и техники. Сер. МЖГ. М.: ВИНТИ, 1981. Т. 16. С. 209–287.
11. **Кутушев А. Г., Татосов А. В.** Численное исследование процесса нестационарного истечения газозвеси из канала ударной трубы // Итоги исследований ИММС № 5. Тюмень: ИММС СО РАН, 1994. С. 56–59.
12. **Кутушев А. Г., Татосов А. В.** Выброс сжатым газом слоя газозвеси из канала ударной трубы в открытое пространство // Итоги исследований ИММС № 6. Тюмень: ИММС СО РАН, 1995. С. 65–69.
13. **Белоцерковский Р. М., Давыдов Ю. М.** Метод крупных частиц в газовой динамике. М.: Наука, 1982.
14. **Нигматулин Р. И.** Динамика многофазных сред. М.: Наука, 1987. Ч. 1.
15. **Абрамович Г. Н.** Прикладная газовая динамика. М.: Наука, 1991.
16. **Ландау Л. Д., Лифшиц Е. М.** Гидродинамика. М.: Наука, 1988.
17. **Черный Г. Г.** Газовая динамика. М.: Наука, 1988.
18. **Баженова Т. В., Гвоздева Л. Г.** Нестационарные взаимодействия ударных волн. М.: Наука, 1977.

Поступила в редакцию 6/II 1997 г.